

II-133 有限要素法による多數の柱体の間の流れの解析

東京大学大学院 学生員 ○福島祐介
東京大学工学部 正員 玉井信行

まえがき 有限要素法によって粘性流の解析を行うため、温度方程式と速度と流れ関数の関係式とを基礎方程式として有限要素方程式を求め、多數の円柱列の間の流れを解析した。また、水とアリセリンの混合液を用いて円柱の間の流線形状を実験的に求め有限要素法の解との比較を試みた。

基礎方程式 二次元、非圧縮の流れは温度方程式と速度と流れ関数の関係式とで記述される。これらに対する有限要素方程式は Galerkin 法を用いることにより次のようにならわれれる。

$$a_{ij} \omega^j + c_{ijk} \psi^k \omega^j + v u_{ij} \omega^j = s_i \quad \dots (1) \quad b_{ij} \psi^j = t_i + d_{ij} \omega^j \quad \dots (2)$$

$$a_{ij} = \int_A \Omega_i \Omega_j dA \quad c_{ijk} = \int_A E_{dp} \Omega_i \frac{\partial \Omega_j}{\partial x_k} \frac{\partial \Phi_p}{\partial x_k} dA \quad u_{ij} = \int_A \frac{\partial \Omega_i}{\partial x_k} \frac{\partial \Omega_j}{\partial x_k} dA \quad s_i = \int_A \frac{\partial \Omega_i}{\partial x_k} \Omega_j n_k \omega^j dA$$

$$b_{ij} = \int_A \frac{\partial \Phi_i}{\partial x_k} \frac{\partial \Phi_j}{\partial x_k} dA \quad d_{ij} = \int_A \Phi_i \Omega_j dA \quad t_i = \int_{S_0} \frac{\partial \Phi_i}{\partial x_k} \bar{q}_k ds \quad \dots (3)$$

ここで、 Ω_i ($i=1,2$) はテカルト座標、 E_{dp} はエグゼントンのイプシロン、 \bar{q}_k は動粘性係数であり、 ω^i 、 ψ^i は温度 w と流れ関数 u の節点での値で時間 t の関数。 Ω_i 、 Ψ_i はそれらに対する補間関数で空間座標のみの関数である。 (1) 、 (2) 式は時間 t の常微分方程式であり、これを時間方向に積分すれば解が求められるが、その際、壁面での温度の値 w_B が必要となる。 w_B は、壁面での no-slip の条件と、要素内の流れ関数と温度の関係から求められ、次のようにならわれる。

$$\omega_B = \frac{3}{4} \frac{b^2}{A^2} (Q_B - Q_0) - \frac{1}{2} w_0 \quad \dots (4)$$

計算は (1) 、 (2) 式を差分化して行った。まず、領域全体が渦なしであるとして、 (2) 式から Potential 流の ψ を計算し、 (4) 式から壁面での温度 w_B を求め、 (1) 式によって領域全体の温度 w を求める。次のステップでは、前回の温度 w を (2) 式に代入し ω を求め、 (4) 式を通して (1) 式にて新たな温度を求める。同様な手順を繰り返し解が定常になるまで計算を行なう。

計算結果及び考察 有限要素として、温度を 3 节点、流れ関数を 1 节点で与える三角形要素を用い、図 1 に示す 2 種類の円柱配列の流れを計算した。総節点数は A-B には 341,387 である。計算結果を円柱径 0.5、平均流速 1.0 で無次元化した流線図が図 2, 図 3 である。また、同様な配列で行った実験結果を図 4, 図 5 に示す。実験は水とアリセリンの混合液の中で円柱を動かし、表面に浮いたアルミ粉末をトレーサーとして流線を直接写真撮影したものである。計算結果と実験結果は定性的に一致し粘性流の解析にあたりても有限要素法がある程度有効であることを示している。しかし、配列 A では $Re=50$ 程度まで計算できただが、B では $Re=12$ までしか計算できず、流れによって適用範囲が異なることがあることも推測された。これは、配列 A では一様なガウトの流れに近く、移流項が量的的には小さく非線形性も弱いが、配列 B では渦領域が極めて低い Re 数でもあらわれていることからもわかるように、移流項の効果が大きく量的・量的非線形性が強く現れていたためであると思われる。また配列 B の実験結果は、計算結果より小さな Re 数で流れが非対称になつているが、これは、計算では左側配列流れを完全な二次元流れを想定しているのにに対し、実験は自由表面での流れを扱つてゐたためであろう。

総論 粘性流の解析に対し有限要素法はある程度有効である。しかし、流れによって得られる解が何れかは Re 数の範囲で求められるかが異なることが予想され、どの適用において注意を要する。

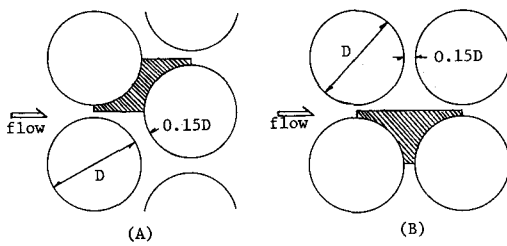


図1 円柱配列(計算領域:斜傾部)

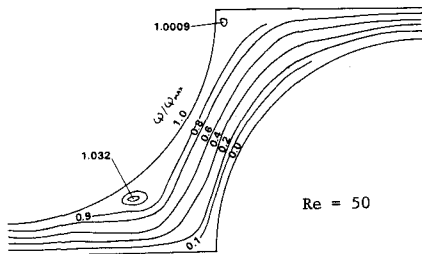
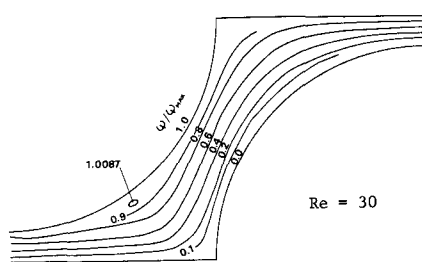
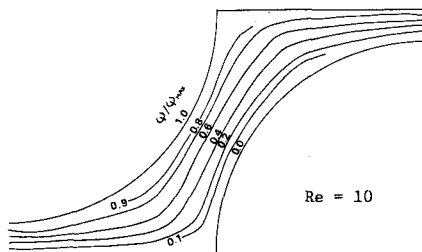


図2 計算された流線 配列A, $\psi_{\max} = 1.15$

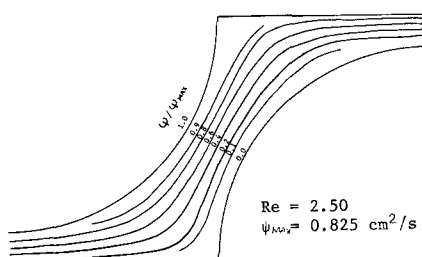


図4 実験結果 配列A, $D = 0.592 \text{ cm}^2/\text{s}$, $D = 9.9 \text{ cm}$

注: 図2~図5において流れは左から右

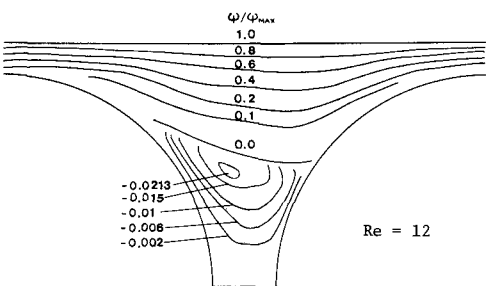
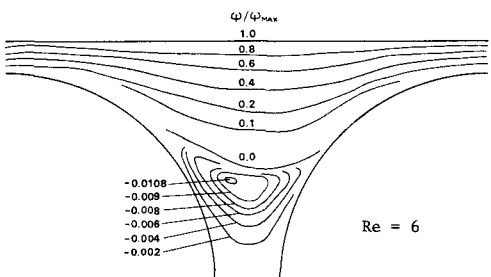
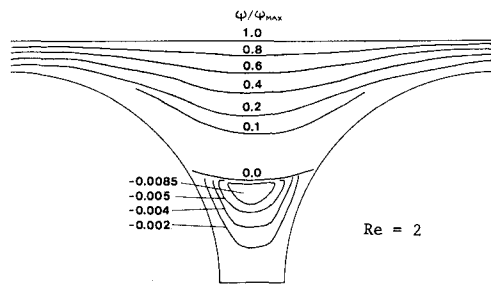


図3 計算された流線 配列B $\psi_{\max} = 1.15$

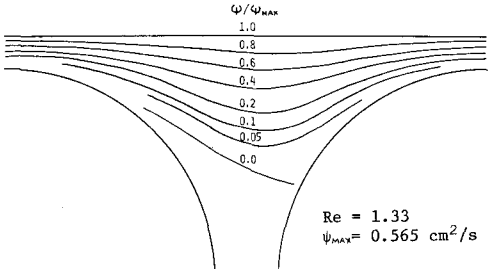
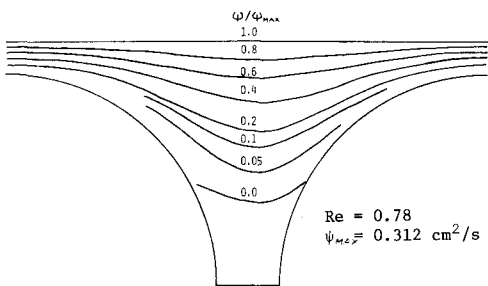


図5 実験結果 配列B $V = 0.696 \text{ cm}^2/\text{s}$ (上) $D = 8.9 \text{ cm}$
 $V = 0.733 \text{ cm}^2/\text{s}$ (下)